

마이크로컴퓨터에 依한 方向性 乘合 엘리베이터 運轉 시스템 制御의 實驗的 研究

論文
30~1~3

Experimental Study on Control of Selective-collective Elevator Drive System Using Microcomputer

黃熙隆* · 李英郁** · 金樹運***

(Hee-Yeung Hwang · Young-Wook Lee · Soo-Un Kim)

Abstract

This paper deals with the drive control of common elevator systems which may be realized with μ p-controlled selective-collective elevator systems.

Incorporation of non-contact point circuits instead of electromagnetic relays in such an elevator system results in miniaturization of complicated hardware controllers currently being used.

The drive control method is implemented by software programming. The important features are not only technical advantages such as higher performance, high speed data processing and more improved reliability, but also lower cost as compared with the conventional elevator drive control units equipped with a number of sequential electromagnetic relays and even more recent static IC logic circuits.

되었고 엘리베이터의 制御에도 利用케 되었다.

엘리베이터 制御에 있어서 컴퓨터의 應用은 이미 이 루어져 왔으며¹⁾ 高層빌딩에 있어서의 멀티·카아(Multi-car) 엘리베이터 시스템의 群管理(Group control)에는 經濟性 問題로 컴퓨터의 使用이 制限되어 왔다.²⁾ 지금까지 사용된 미니 컴퓨터는 入力要求信號들을 監視(Monitoring)하고 適切한 方法으로 該當層의 呼出信號에 應하도록 하는 交通管理 制御의 役割을 하고 있다. 이 論文은 엘리베이터 시스템의 制御에 μ P의 應用을 試圖하는데 있다. 從來에는 하드웨어적인 回路의 改善 및 變更에 依해서, 보다 나은 性能을 갖도록 하였지만 소프트웨어나 평웨어(Firmware)를 同時に 考慮하여 하드웨어의 改造없이도 간단히 소프트웨어의 修正에 依해서 運用의 變更 및 目的하는 바의 適切한 制御가 可能하다.

例를 들어, 엘리베이터 시스템의 制御方式을 變更·改善시킬 경우에 複雜한 하드웨어의 變更을 하지 않고 μ P를 使用할 경우, 프로그램만 바꾸어 줌으로써 無方向性 乘合(Non-selective collective) 制御方式에서 方向性 乘合(Selective-collective) 制御方式으로의 變更이 可能

1. 序論

오늘날 엘리베이터는 垂直交通機關 및 運搬手段으로 그 需要가 날로 急增하고 있으며, 運轉 操作員을 두지 않는 全自動乘客 操作의 運轉方式이 必要하게 되어 機能의 高度化, 情報處理의 增大와 迅速化, 信賴性의 向上 등을 圖謀하기 위하여 엘리베이터 制御裝置는 電磁裝置에서 電子裝置로 變換되어 가고 있다. 즉, 半導體論理回路들을 複雜한 制御裝置에 導入함으로써 電子化를 試圖하고 있다.¹¹⁾

最近에 디스크리트(Discrete)한 트랜지스터 論理回路를 가진 엘리베이터 制御裝置가 계속적으로 研究 開發되어 왔으며¹¹⁾, 그리하여 電磁 繼電器의 論理回路보다 性能이 改善되었고 經濟的으로 되었다. 1971년 마이크로프로세서(Microprocessor: μ P)가 出現한 以來 電子產業의 製品 設計部門 및 應用分野에 變化가 일어나게

* 正會員: 서울大 工大 電子計算機 工學科 副教授 · 工博

** 正會員: 洪陵機械 工業會社 研究員

*** 正會員: 울산 工大 電氣科 專任講師

接受日字: 1980年 11月 13日

하다.

엘리베이터 시스템의 제御에는 전동기의 속도제어와 카이의 위치제어, 도어 제어, 신호의 기억과 선택 및 방향선택제어등으로 분류된다.

本研究에서는 4층용 싱글·카이 엘리베이터 모델 시스템에 있어서 카이 요구신호의 기억과 선택 및 방향선택 제어를 위한 방향성 합성 운전제어를 다룬다. 엘리베이터 시스템에 마이크로 컴퓨터(Microcomputer: μ C)를 이용하기 위한 디자인을 제2장에서 다루고, 제3장에서는 디자인을 따른 시스템의 하드웨어構成을 설명하였다. 제4장에서는 엘리베이터 제어 소프트웨어를 다룬었으며, 제5장과 6장에서는 실험 결과와 결론을 각각記述하였다.

2. 方向性 乘合(Selective-collective)方式의 制御 시스템 設計

엘리베이터 제어에 있어서 方向性 乘合 제어는 엘리베이터 제어方式中의 하나이다. 이 제어방식은 다음과 같은 특성을 滿足하여야 한다.

(i) 上昇, 下降 및 카이 누름단추에 의한 呼出用 신호와 카이 位置表示 신호의 디자인은 現行 시스템과 같다.⁵⁾

(ii) 일단 카이가 어느 한 方向으로 움직이면, 그 方向과 關聯된 要求에 반應하여 그 方向으로의 모든 탑승자들의 要求신호를 乘合(Collect)하고 그 方向의 모든 要求가 滿足된 後에 카이는 다른 方向의 要求신호를 乘合하게 된다.

이해 새로운 運轉方向의 要求신호들뿐만 아니라 前에 登錄된 以前의 呼出신호에도 應答하여야 한다. 乘合의(Collective)動作方式이 양쪽의 方向性을 갖고 適用되므로 方向性 乘合 제어 시스템(Selective-collective control system)이라고 부른다.

(iii) 카이가 最上層에 着床한 경우에는 우선 下降 方向의 呼出신호들의 要求에 應하여 下降하게 된다.

下降方向의 呼出신호들의 要求가 없는 경우에는 上昇方向의 呼出신호들의 要求에 應하여 下降하도록 한다. 카이가 最下層(1層)에 着床한 경우에는 마찬가지 방법으로 反對로 된다.

(iv) 카이가 呼出신호에 應하여 下降하게 되는 경우, 이의 處理過程에서 신호의 マスク(Mask)가 必要하다. 例를 들면, 현재 카이가 3層에 있고 下降呼出신호가 각각 2層 및 4層에서 要求되며 경우, 카이는 下降하여야 한다. 이와같이 下降呼出신호가 現層보다 낮은 層에서 要求되면 下降하도록 한다. 現層보다 높은

層의 呼出신호는 無視되도록 マスク시키는 것이 必要하다.

3. 엘리베이터 제어를 위한 하드웨어

本論文에서 取扱한 하드웨어는 關聯되는 μ C 시스템과 入·出力 인터페이스(I/O interface) 및 모터驅動出力 인터페이스로構成되어 있다(그림 1).

카이 누름단추를 눌려 各種의 要求신호를 받아들일 때의 雜音除去를 위하여 入力 인터페이스에 챠터링(Chattering)防止用 바운스消滅器(Bounce eliminator)回路를 使用하였다. 또한 出力 LED 表示 裝置들이 모터驅動時 제대로動作되지 않는 경우가 많아 모든 電源線과 主要 信號線은 모두 쉴드 線(Shield lead)을 使用하여 쉴드시키고 어느 정도의 모터 雜音에 견딜 수 있고 電流 消耗도 적은 CMOS型의 4049 및 4013 IC를 使用하였다.

層表示 入力側은 챠터링 防止用 바운스消滅器回路의 附加에도 불구하고 層表示 LED의 表示가 제대로動作되지 않는 경우가 있어서, 다시 필터(Filter)回路와 디퍼렌셜 RS-422와인 驅動器 및 受信器(Differential RS-422 line driver/receiver)를 附加하였다.

하드웨어를 자세히 說明하면 다음과 같다.

3.1. μ C 시스템

方向性 乘合 제어를 위한 8085 μ C의 構成과 關聯 I/O포트를 각각 그림 1(a) 및 (b)와 表 1에 보였다. 8085 μ C의 構成으로는 한 個의 μ P의 유니트(CPU)와 각각 256바이트를 갖는 RAM 2개를 使用하였으며 1K 바이트의 ROM은 交通管理 제어 알고리즘을 갖고 있는 모니터 ROM이다.

RAM은 그려한 알고리즘의 格納(Store)과 서브루틴(Subroutine call)命令을 處理하기 위한 스택(Stack)으로 使用하였다. I/O포트 數는 모두 9個(RAM: 5個, ROM: 4個)를 使用하였다.

I/O포트는 該當 入·出力 인터페이스에 依한 制御信號들을 μ C에 인터페이스 시키기 위한 것이다. 이 制御信號들은 다음과 같다.

(1) 層表示 信號(FL1~FL4) : 카이가 該當層에 到着했을 때 發生되는 1層~4層까지의 層表示 信號를 말한다. 엘리베이터의 샤프트(Shaft)에 부착되어 있는 스위치에 依해서 表示된다.

(2) 層表示 消燈信號(CF1~CF4) : 카이 着床時의 μ C로부터의 層表示 消燈(Clear) 信號를 말한다. 例를 들어, 카이가 1層으로부터 2層에 到着하면 1層 信號燈은

꺼져고 2層 信號燈이 꺼지게 된다.

(3) 카아 要求信號(C1~C4) : 搭乗者가 카아에서 내리고자 하는 카아 누름단추에 依한 入力信號를 말한다.

1層~4層까지의 카아 停止要求信號이다. 이 信號들은 카아 内部의 制御 판넬(Panel)의 누름단추에 依하여 發生하게 된다.

(4) 카아 要求 消燈信號(CC1~CC4) : 카아 着床時의 μC로부터의 카아 要求 消燈(Clear) 信號를 말한다. 카아가 要求層에 到着하면 그 層의 카아 呼出 信號燈은 꺼지게 된다.

(5) 上昇 및 下降 要求信號(U1~U3 및 D2~4) : 搭乗場 누름단추에 依한 要求하는 方向의 呼出 信號를 말한다. 各層에는 한 個의 上昇 누름단추와 下降 누름단추가 있다(단, 1層은 上昇, 4層은 下降 누름단추만 있음).

搭乗場에 있는 搭乗者가 가고자 하는 方向의 누름단추를 눌러서 카아를 부른다.

(6) 上昇 및 下降 要求 消燈信號(CU1~CU3 및 CD2~CD4) : 카아가 着床하거나 通過하는 경우의 上昇 또는

는 下降 要求 消燈信號를 말한다. 이 信號는 μC로부터의 消燈 output 信號이다.

表 1. I/O포트의 機能
Table 1. Function of I/O port

I/O port No.	Function of I/O	
01 하 (4)	SW input	floor indicator
00 " (4)	(push button)	up request
09 " (4)		down request
08 " (4)		car request
21(02~05)		floor indicator
22 하 (4)	clear output	down request
22 상 (4)		up request
23 하 (4)		car request
29 pin 04	check input	floor indicator
29 pin 07		requests(up OR down OR car)
2A pin 00		motor driving up
2A pin 01	output	motor driving down
2A pin 02		1'st floor indicator

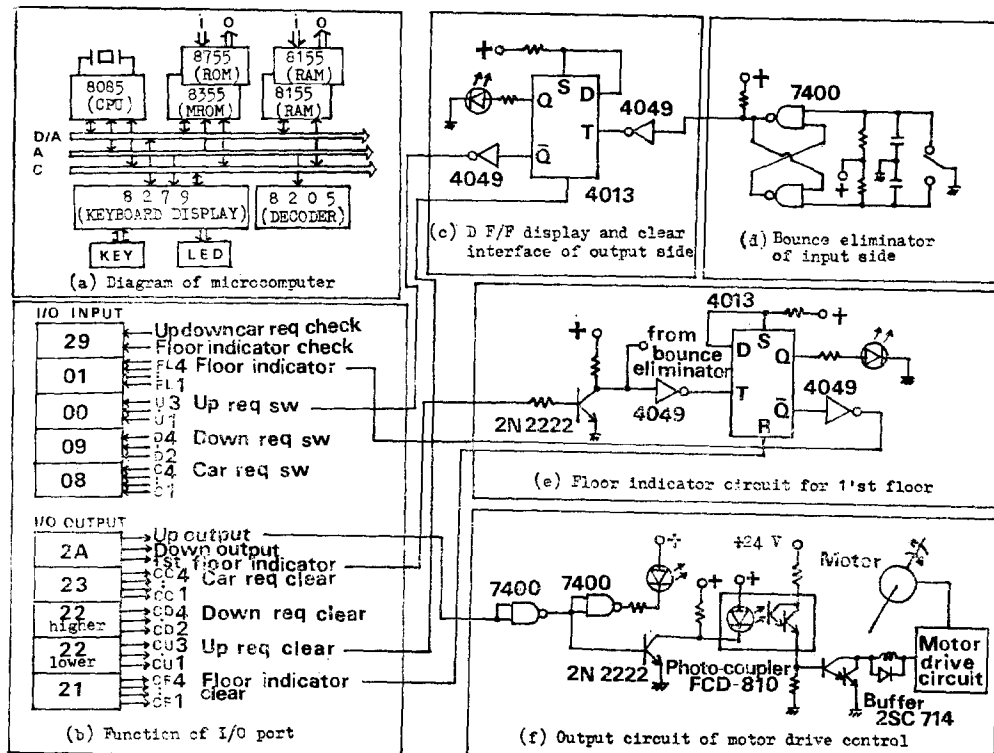


그림 1. 엘리베이터 制御 마이크로컴퓨터와 I/O인터페이스 回路의 構成圖

Fig. 1. Block diagram of elevator control microcomputer with I/O interface circuits

3.2 入・出力 인터페이스

입력 인터페이스는 上昇, 下降 및 카아 누름단추로 서 챠터링(Chattering)防止用 바운스 消滅器(Bounce eliminator)회로와 카아가 該當層에 到着했을 때 現層의 位置를 表示하기 위한 層表示 스위치 入力回路를 포함한다(그림 (d)). 層 位置 調査入力を 上昇, 下降 및 카아 要求信號 調査入力を 為하여는 4入力 NAND 게이트 7420을 使用하였다.

특히 上昇, 下降 및 카아 入力を OR 動作시키기 為한 별도의 回路를 構成하였다(그림 2).

出力 인터페이스는 이 入力信號들을 表示하는 LED 와 關聯信號들을 消燈시키기 為한 出力裝置이다. 電流 消耗가 적고 어느 정도의 雜音에도 견딜 수 있는 4049 및 4013 CMOS型 IC로 構成하였다. 各層에서의 要求信號는 4013의 \bar{Q} 出力으로부터 받아들일 수 있도록 하였다(그림 1 (c)). 또한 카아는 항상 1層에서 出發하는 것으로 하였다.

1層의 位置表示를 為하여 카아 누름단추 入力과 μ C 로부터의 1層 位置表示 出力を 겸하도록 하고 있다(그림 1 (e)).

모터驅動 出力 인터페이스는 24V用 모터驅動 制御 繼電器를 動作시키기 為하여 出力 포트의 인터페이스에 上昇 및 下降方向 表示 LED 出力裝置와 FCD 810 포터·카플러(Photo-coupler) 및 트랜지스터 出力 버퍼(Output buffer)를 使用하였다(그림 1 (f)).

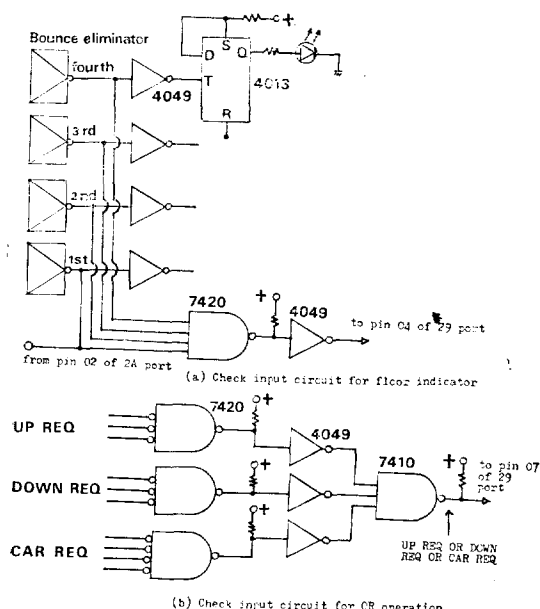
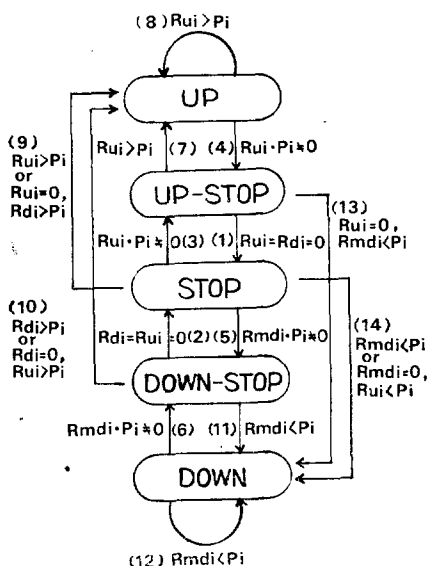


그림 2. 調査 入力回路

Fig. 2. Check input circuit

4. 엘리베이터 制御 소프트웨어

方向性 乘合 運轉制御(Selective-collective drive control)를 實現하기 為한 處理 소프트웨어는 엘리베이터의 運轉動作에 따라 5가지 狀態로 分類된다.



U_i : Up request from floor i

D_i : Down request from floor i

C_i : Car request for floor i

P_i : Present floor

R_{ui} : Up request; $U_i + D_i + C_i$

R_{di} : Down request; $U_i + D_i + C_i$

R_{mdi} : Masked R_{di} for higher floors than a present floor

그림 3. 方向性 乘合 運轉 制御 狀態圖

Fig. 3. the State diagram of selective-collective drive control

먼저, 이 5가지 運轉 狀態圖를 각各 說明한 後, 이 狀態들에 따른 全體 流通圖와 소프트웨어 實現中에 必要로 되는 時間遲延 프로그램과 マスク(Mask)된 要求信號를 說明하였다.

4.1. 方向性 乘合 運轉 制御 狀態圖

(1) 停止(STOP) : 上昇 要求信號도 下降 要求信號도 없는 狀態를 말한다. 着床層에서의 모든 要求信號燈과 上昇 및 下降方向 信號燈이 꺼지고 待期狀態로 있게 된다(case 1 및 2).

(2) 上昇 停止(UP-STOP) : 카아가 上昇한 後 停止하는 狀態를 말한다. 카아가 停止하면 약 10秒間의 搭乘時間 遲延後 該當層의 信號燈을 끈다. 그리고, 다음 狀態로 들어가기 為하여 要求信號들을 調査하게 된다.

(case 3 및 4).

(3) 下降停止(DOWN-STOP) : 카아가下降하다停止하면 上昇停止때와 마찬가지動作으로 된다(case 5 및 6).

(4) 上昇(UP) : 카아가 계속 上昇하는 狀態를 말한다. 上昇時間은 약 5秒이고 上昇方向 信號燈이 켜진다(case 7, 8, 9 및 10).

(5) 下降(DOWN) : 카아가 계속 下降하는 狀態를 말한다. 下降時間은 약 5秒이고 下降方向 信號燈이 켜진다. 이 경우에는 現層보다 높은 層에서의 下降 要求信號는 マスク(Mask)하여 카아가 現層 以下의 層에서의 下降要求에 應하도록 한다(case 11, 12, 13 및 14).

그림 4는 方向性 乗合 制御方式에 依한 運轉動作을 例로 보인 것이다.

case 10은 카아가下降하여 該當層에 停止하였으나 더 이상의 下降要求가 없어 上昇하는 경우이다.

case 14는 이와는 反對로 上昇中에 다시 下降하는 경우를 보여주고 있다.

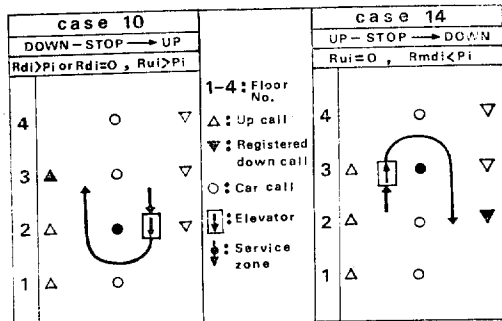


그림 4. 方向性 乗合 制御方式의 運轉動作 例
Fig. 4. Examples of the drive state of selective-collective control

4.2. 全體 流通圖

그림 5는 方向性 乗合 制御 エレベイタ 시스템의 全體 流通圖이다. 카아는 항상 1層에서 出發하는 것으로 한다.

最初의 上昇 또는 下降 要求信號 調査入力이 있으면, 上昇 또는 下降 要求信號를 받기 시작한다.

카아가 上昇하는 경우에, 現層以上에서의 上昇 要求信號에 優先順位(Priority)를 주고 그렇지 않으면, 現層보다 낮은 層에서의 下降 要求信號에 優先順位를 주어 이 信號부터 處理하여 實行하게 된다. 카아가 下降의 경우에는 이와 反對로 된다. 이와 같은 方法으로 エレベイタ는 方向性 乗合 制御方式에 따라 주어진 交通量을 可能한限 最短時間內에 處理할 수 있다.

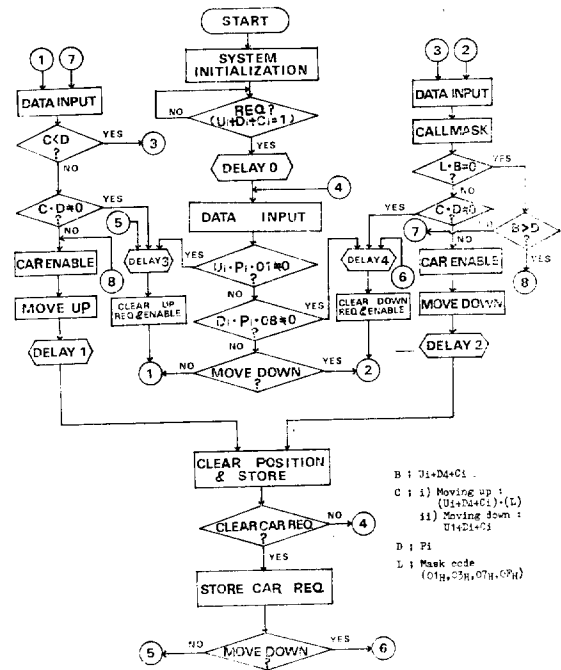


그림 5. 流通圖
Fig. 5. Flowchart

4.3. 時間遲延 프로그램(Delay program)과 매스크된(Masked) 要求信號

方向性 乗合 制御方式의 소프트웨어 處理過程에 있어서 必要한 時間遲延 サブル틴은 모니터 ROM內의 것을 利用하였다. 下降時に 現層보다 높은 層에서의 下降 要求信號는 マスク(Mask)하여야 하므로 各層에서의 MASK 코드가 必要하다. 500ms의 選延時間(Delay time)의 計算과 그림 3 狀態圖(case 11)의 매스크된 要求信號에 依한 下降의 경우를 例를 들어 説明하였다.

時間遲延 サブル틴과 MASK 코드의 發生을 表 2 및 表 3에 보였다.

例 1: 500ms의 選延時間의 計算

$$\begin{aligned} \text{全 클럭 수: } & 10 + 18 + 31 + 24 \times (x-1) = 1,500,000 \\ \therefore x = & 62,499 \rightarrow F423_H \end{aligned}$$

例 2: 狀態圖 case 11의 下降의 경우

매스크 된 要求信號:

$$\begin{aligned} R_{mdi} &= (D_4 + D_2) \cdot M_3 = (08 + 02) \cdot 07 = 02H \\ \therefore R_{mdi} < P_i &\rightarrow \text{下降} \end{aligned}$$

表 2. 時間遅延 シブルト
Table 2. Delay Subroutine

Instruction	Clock No.	
LXI D, x	10	
CD 05F1	18	
Monitor ROM delay routine		
Instruction	Clock No.	
0 5 F 1	DCX D	6
0 5 F 2	MOV A,D	4
0 5 F 3	ORA E	4
0 5 F 4	JNZ 05F1	7/10
0 5 F 5	RET	10
NO JUMP (Last loop)		31
JUMP (Iteration)		24

表 3. 下降時의 MASK 코드의 發生
Table 3. MASK code generation when moving down

MASK code	Machine language
1'st floor	$M_1 : 0000\ 0001 (01_H)$
2'nd floor	$M_2 : 0000\ 0011 (03_H)$
3'rd floor	$M_3 : 0000\ 0111 (07_H)$
fourth floor	$M_4 : 0000\ 1111 (0F_H)$

5. 實驗結果 및 考察

μ C化한 方向性 乗合 運轉 制御에 關한 本 實驗에서 는 4層用 상클 · 카아(a Single-car for four-floors) 엘리베이터 시스템이 考慮되었고 交流 모터를 驅動하는 모듈 시스템은 美國 인텔 社의 Intel 8085 μ P(CPU, 3MHz)와 디지털 IC의 I/O인터페이스를 使用하였다.

表 4. μ C에 依한 方向性 乗合 制御方式과 他制御方式との 比較

Table 4. Comparision of a selective-collective control mode using μ C with others

特性	Electromagnetic Relay	Static Logic IC	Microcomputer
制御方式	無方向性 乗合 (手動)	方向性 乗合 (自動)	方向性 乗合 (自動)
性能 및 效率	小	大	多 大
크기	大	中	小
信號處理時間	長	短	最 短
整備·補修	普通	容 易	容 易
價格	高 價	經濟的	經濟的
制御方式의 更變	回路(復雜)	回路(復雜)	소프트웨어 (簡短)
消耗電力	大	小	極 小

各層에서의 呼出信號는 항상 無作爲(Random)하게 하드웨어적으로 表示되도록 하고, 그림 4의 制御 알고리즘의 處理는 μ C로 實行하였다. 實驗하는 過程에서 여러 가지 問題點들이 發生하였는 데 重要한 것을 考察하여 보면 다음과 같다.

(1) 모터 雜音(Motor noise): 모터 驅動回路의 雜音 發生은 쉴드(Shield)된 모터 外部로부터 驅動回路와 連結되는 리드線에서 發生되며 雜音의 영향이 미치는範圍內에서 連結되어 있는 리드線은 雜音을 받아들이고 그것은 또 다른 低階回路(Low-level circuits)에 雜音을 發生시키게 된다.

즉 모터 리드線의 導電(Conduction)과 리드線들로부터의 雜音放射(Radiation)로 생각할 수 있으며, 이러한 雜音은 結合導電性 雜音(Conductively coupled noise)이라고 부르는 것으로 대부분이 電源線의 回路로 誘起된다. 따라서, 이 경우 電源供給裝置의 리드線으로부터 雜音을 除去시키는 것이 必要하다⁸⁾. 本 實驗에서는 모든 電源線뿐만 아니라 主要信號線을 모두 쉴드線을 使用하여 쉴드시키고 될 수 있는 대로 리드線의 길이를 짧게 하였다.

또한 層表示 入力側에 필터回路와 디퍼렌셜 RS-422 라인 驅動器 및 受信器(Differential RS-422 line driver/receiver)를 附加하였다(그림 6).

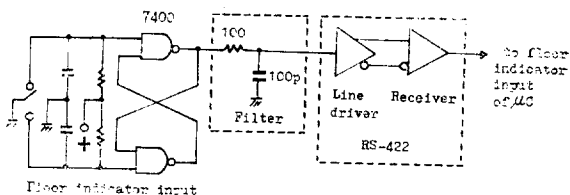


그림 6. 層表示 入力側의 變更回路

Fig. 6. Modified circuit of input side for floor indicators

(2) μ C 리세트 機能의 不動作 또는 無入力: μ C와 인터페이스 裝置는 될 수 있는 대로 一點 그라운드(Ground)를 시키고 각 인터페이스 裝置의 그라운드가 確實히 되었는가를 確認하여 두는 것이 좋다. 또한 리플(Ripple) 電壓 또는 漏泄(Leakage) 電流가 적은 良好한 電源의 使用이 必要하다고 보며 μ C와 인터페이스의 使用 電源을 各各分離하여 使用하든가 또는 電源을 共通으로 使用하는 경우에는 라인 필터(Line filter) 등을 使用하는 것이 좋으리라고 생각한다.

6. 結論

μ P의 엘리베이터 制御 시스템에 對한 適應性을 活

用하고 乘客들의 待期時間 을 보다 短縮할 수 있는 高効率의 運轉 을 為하여 方向性 乗合 全自動化 方式 을 現 一般的인 엘리베이터 시스템의 制御에 應用할 수 있다.

方向性 乗合 엘리베이터 制御를 為한 소프트웨어 處理方法에는 各層 또는 카아 自體內의 呼出 要求信號를 入力하여 表示하고 이를 格納(Store)하는 過程을 인터럽트(Interrupt)로 處理하는 方法과 要求信號는 하드웨어적으로 항상 表示될 수 있도록 하고 이를 入力하고 格納하여 處理하는 過程에 있어서는 스캐닝(Scanning)으로 實行하는 方法이 있다. 本研究에서는 스캐닝 方法을 使用하여 必要한 時期에 入力 要求信號를 스캐닝하고 서브루틴 콜(Subroutine call) 命令으로 이를 處理하였다.

8085 μ C에 8259 Programmable Interrupt controller (PIC)를 使用할 수 있으나 上昇 中에 인터럽트가 결리면 遂行中의 制御는 일단 中止되기 때문에 非効率의이다. 끝으로, 方向性 乗合 엘리베이터 運轉 制御 시스템을 μ C로 制御하는 경우 以前의 方式과 比較하여 보면 表 4와 같다.

以上에서 보는 바와 같이 μ C에 依한 方向性 乗合 制御方式은 以前까지의 他制御方式에 比해 많은 長點을 얻을 수 있다.

反面, 方向性 乗合 엘리베이터 시스템의 制御에 있어서 實驗을 通하여 發見된 事實은 모터 雜音, 使用 電源의 良好性과 分離 및 電源 補完裝置의 附加, 確實한 信號의 發生등이 μ C 또는 인터페이스 裝置에 많은 영향을 미친다는 點이다. 本研究에서는 乘客을 태우는 實際의 엘리베이터 시스템에 μ C를 利用한 方向性 乗合 制御 시스템에의 應用 可能性을 보였으나 앞으로 여러가지 補完裝置의 附加와 安全度 및 信賴度등을考慮한 試驗등이 行해져야 할 것이다. 本研究에서 다룬 엘리베이터 시스템으로는 8層까지의 運轉制御가 可能하나 그 以上的 層의 경우에는 하드웨어와 소프트웨어에 對한 修正이 必要하리라고 생각한다. 이러한 長點을 維持하고 短點을 補完하는 계속적인 研究가 이루어짐

으로써 더욱 發展된 完全自動 群管理 制御시스템으로의 轉換이 容易할 것이다.

參考文獻

1. Lance A. Leventhal, 8080A/8085 Assembly language programming, California: Osborne & Associates, 1978.
2. MCS-85™ System design kit user's manual, Intel, Mar. 1977.
3. SDK-85 ユーザーズマニュアル, Intel (Japan), 1978.
4. 盧彰注, 시퀀셜 制御, 亞成出版社, 1974, pp. 2-96 —2-120.
5. 元鍾盛, 最新 엘리베이터 教本, 담수사, 1978.
6. Caxton C. Foster, Programming a micro-computer 6502, Addison-wesley, Jul. 1978, pp. 147—156.
7. C. Halatsis and A. Sokos; "Microprocessor-Controlled elevators," Electron. Eng., pp. 81—82, pp. 86—89, Oct. 1978.
8. Henry W. Ott., Noise reduction techniques in electronic systems, New Jersey: John Wiley & Sons, Jul. 1975, pp. 10—14, pp. 115—135.
9. Vladimir Matijevic and Predrag Vranic, "Control of selective-collective elevators based on the use of integrated circuits," IEEE Trans. Ind. Appl., Vol. IA-8, No. 6, pp. 793—802, Nov./Dec. 1972.
10. S. choudhuri, S.K. Basu, and S.P. Patra, "Design of control circuit of an automated elevator employing mathematic logic," IEEE Trans. Ind. Gen. Appl., Vol. IGA-6, pp. 384—393, Jul./Aug. 1970.
11. エレベーター・エスカレーター, 小特集, 日立評論, Vol. 60, No. 4, pp. 1—28, Apr. 1978.

부 록 : Assembly Program List

LOC	OBJ CODE	SOURCE STATEMENT	LOC	OBJ CODE	SOURCE STATEMENT	LOC	OBJ CODE	SOURCE STATEMENT	LOC	OBJ CODE	SOURCE STATEMENT
2000	31CF90	LXI SP, 20CF	2049	AF	XRA A	2087	DCR B		2800	AF	PO CHK, XRA A
2003	21FA28	LXI H, 2F0A	204A	D30B	OUT OB	2088	C38L0	JNZ IP UD	2801	D338	LP PO: IN .29
2006	3600	FILL: MVI M, 00	204C	DB09	IN 09	208B	DL	POP D	2802	E610	ANI 10
2008	23	INX H	204E	E60F	ANI F	208C	C30028	JMP PO CHK	2803	E610	OUT .28
2009	7D	MOV A,L	2050	3:FB:38	STA 38FB	208D	LOC		2804	C30328	SOURCE STATEMENT
2011	FE00	CPI 00	2053	AF	XRA A	208E	LOC		2805	I2Z LP PO	
2013	A0	JNZ FILL	2054	D30A	OUT 0A	208F	0601	DN, MVI B, 01	2806	XRA A	
2014	C20630	MVI A,0F	2056	DB08	IN 08	2091	C38F30	IMP CAR EN	2807	AF	
2016	3E0F	OUT 20	2058	E60F	ANI 0F	2092	0601	OUT .28	2808	D303	OUT .03
2019	D320	XRA A	205A	3:AC:8	STA 38FC	2094	3EOF	SP DL, MVI A, 0F	2809	DB01	IN .01
2020	3E01	OUT 21	205D	C9	RET	2096	D228	OUT .28	2810	E60F	ANI 0F
2021	C201C	OUT 22	205E	4F	MVI C,A	2098	3E03	MVI A, 03	2811	XRA D	
2022	3E01	MVI A, 01	2061	E608	3AEB:8 UP CHK, LDA 38FB	209A	D22A	OUT 2A	2812	4F	MOV C, A
2023	D323	OUT 23	2063	4F	MVI C,A	209B	D3	PUSH D	2813	3EOF	MVI A, OF
2024	D323	OUT 23	2064	3AFA:8	LDA 38FA	209D	0614	MVI B, 14	2815	D320	OUT .20
2025	3E0F	FL DP, MVI A, 0F	2067	BI	ORA C	209F	1123F4	LP SP, LAD, F12	2817	D321	MOV A,D
2026	3E01	OUT 28	2068	4F	MOV C,A	20A2	C10F06	CALL 05F1	2818	RLC	
2027	3E07	MVI A, 07	2069	7A	MOV A,D	20A5	65	DCR B	2819	07	RIC
2028	D324	OUT 2A	206A	A1	ANA C	20A6	C24F20	JNZ LP SP	2821	I3E1	OUT .21
2029	1123F4	LXI D, F123	206B	47	MOV B,A	20A7	D1	POP D	2822	XRA A	
2030	CDF105	CALL 05F1	206C	C9	RET	20AA	C9	RET	2823	D321	OUT .21
2031	3E01	MVI A, 01	206D	3E0F	UP: MVI B, 02	20AB	0602	CALL CL, LDA :38FC	2824	NOP	
2032	MOV D,A	OUT 20	206E	CAR EN: MVI A, 0F	20AC	30AB	0602	MOV B,A	2825	CD3F20	CALL INPUT
2033	57	MOV D,A	206F	CAR EN:	卡拉요신호의 일시적이용, 신송현장 표지 및 청송사 전체설계 송표지 일시 차교류현 청교	20AD	3EOF	卡拉요신호가 소동현 경우는 신호회 객남, 그동안 차고신호를 차교류현 청교	2826	C3AB20	JMP CAR CL
2034	3E01	OUT 28	2071	D320	OUT 20	20B0	3EOF	MVI A, 0F	2827	3AFA:33	차송신호 전송 차교류현 청교
2035	202F	REQ: XRA A	2073	AF	XRA A	20B2	D220	OUT 20	2828	AN	UPCL-LDA
2036	3E01	OUT 2A	2074	D323	OUT 23	20B4	MOV A,D	2829	AN	AN A,D	
2037	AF	INPUT: XRA A	2076	3EOF	MVI A, 0F	20B5	B0	ORA B	2830	4F	MOV C,A
2038	D302	OUT 02	2078	D3:8	OUT 23	20B6	D3:3	OUT 23	2831	3EOF	MOV A,F
2039	CDF105	DLYO: CALL SP DL	207A	78	MOV A,B	20B8	78	MOV A,B	2832	D322	OUT .22
2040	C38E23	IMP CHK	207B	D32A	OUT 2A	20B9	E60F	ANI OF	2833	AF	XRA A
2041	E680	ANI 80	207D	5F	MOV E,A	20BB	C16E38	JZ CHK	2834	D322	OUT .22
2042	3:FA:8	INPUT: XRA A	207E	D5	PUSH D	20BE	3:AF:38	LDA :38FC	2835	NOP	
2043	D302	OUT 02	207F	600A	MVI B, MA	20C1	90	SUB B	2836	I3E1	IDA :38FA
2044	DB01	IN 00	2081	1123F4	LP UD, LXI D, F4:3	20C2	23FC28	STA :38RC	2837	3AFA:33	SUB C,C
2045	E60F	ANI OF	2084	CDF105	CALL 05F1	20C5	C36E38	JMP CHK	2838	ST:AN:5	ST:AN:5
2046	3:FA:8	ST: A,3FA								C38E28	JMP UF CHK

